

FIG. 1

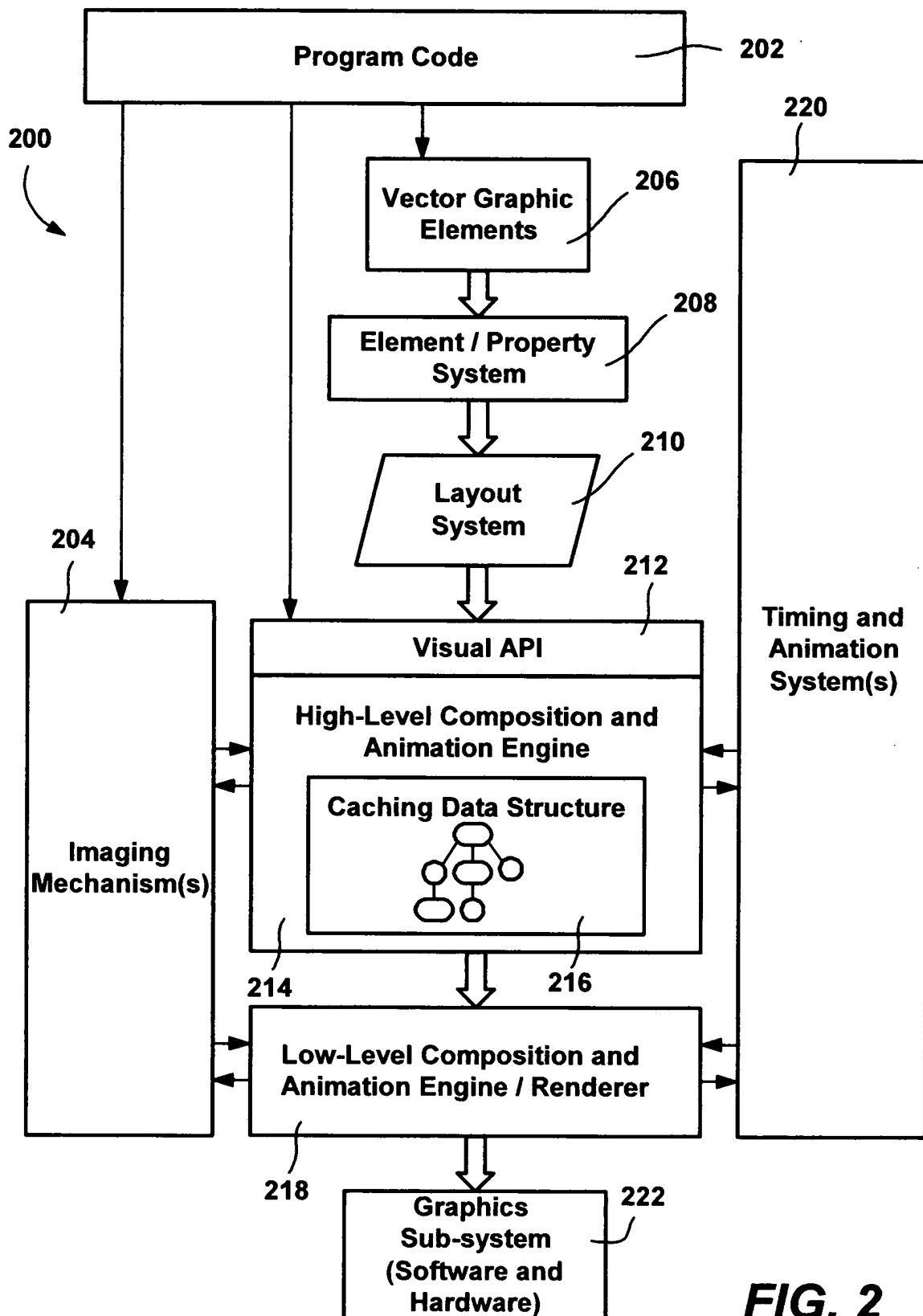


FIG. 2

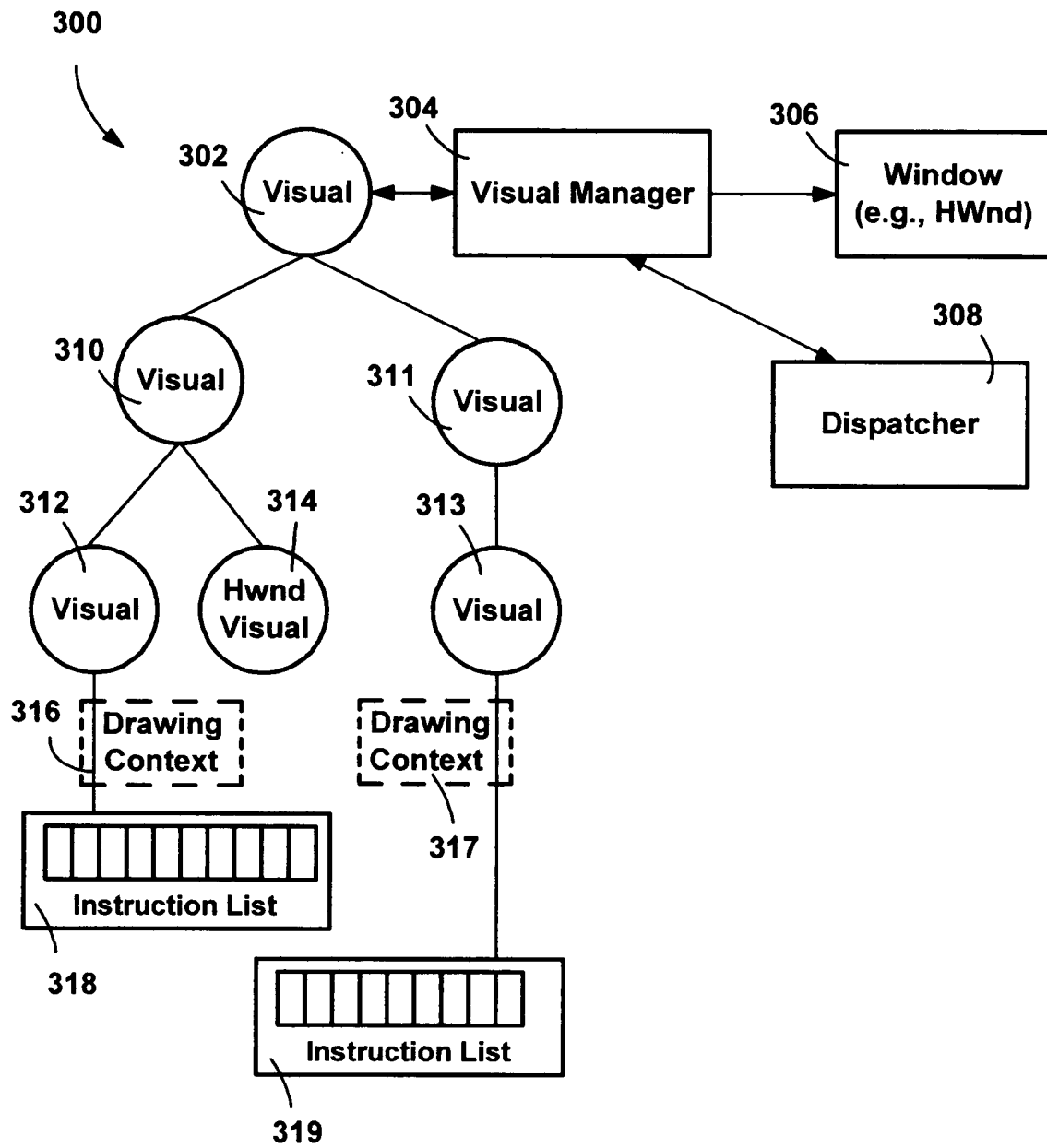
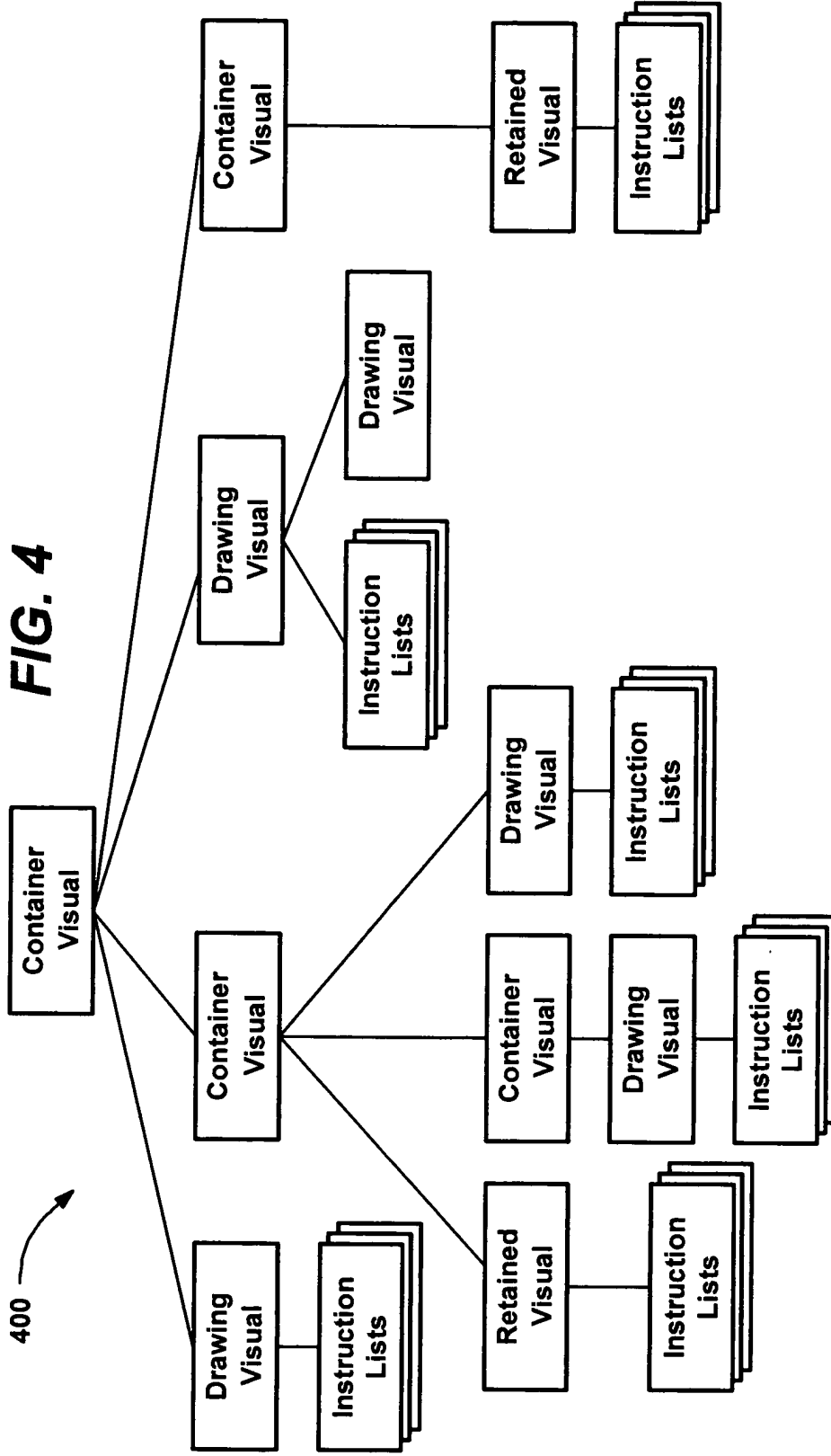


FIG. 3

400



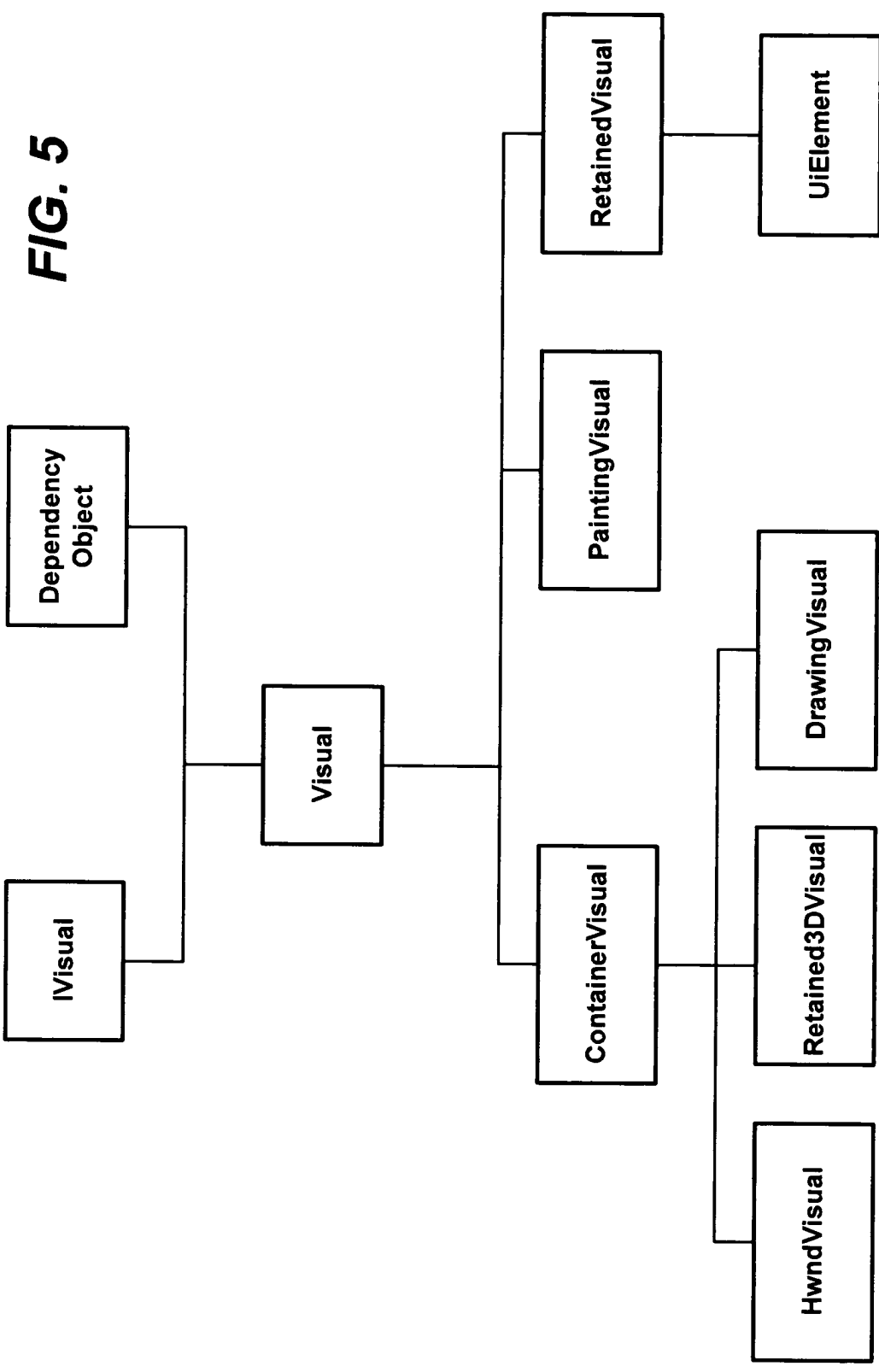


FIG. 5

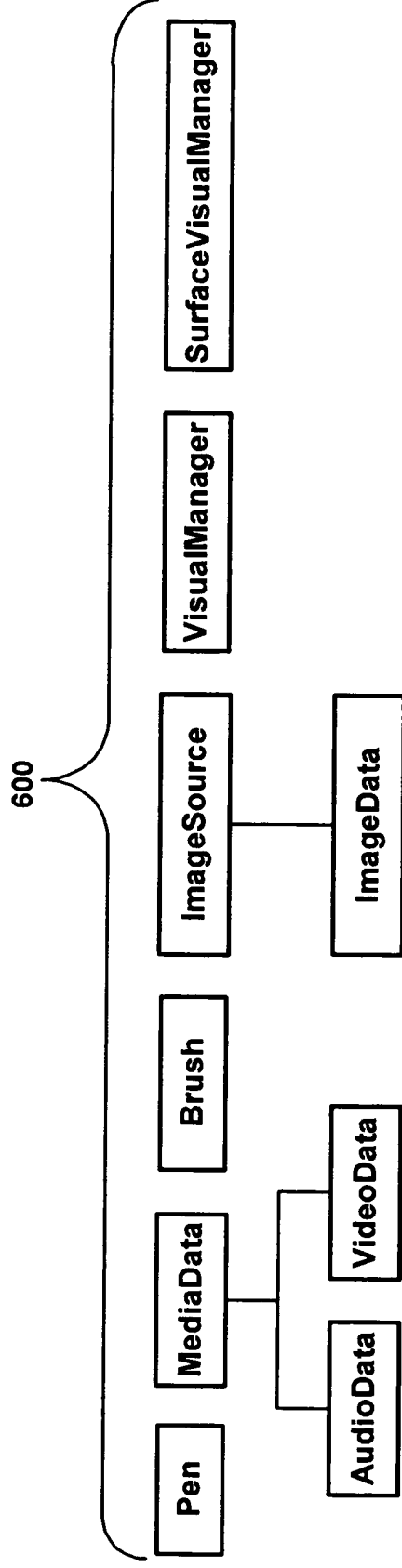


FIG. 6

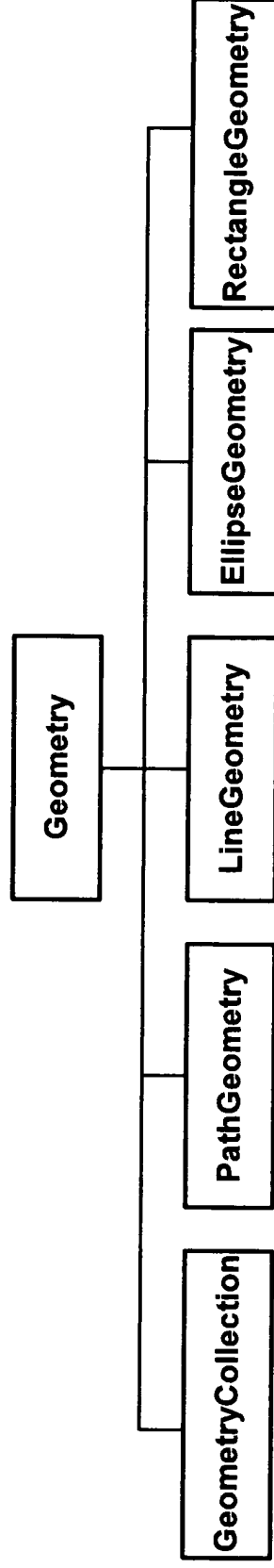


FIG. 10

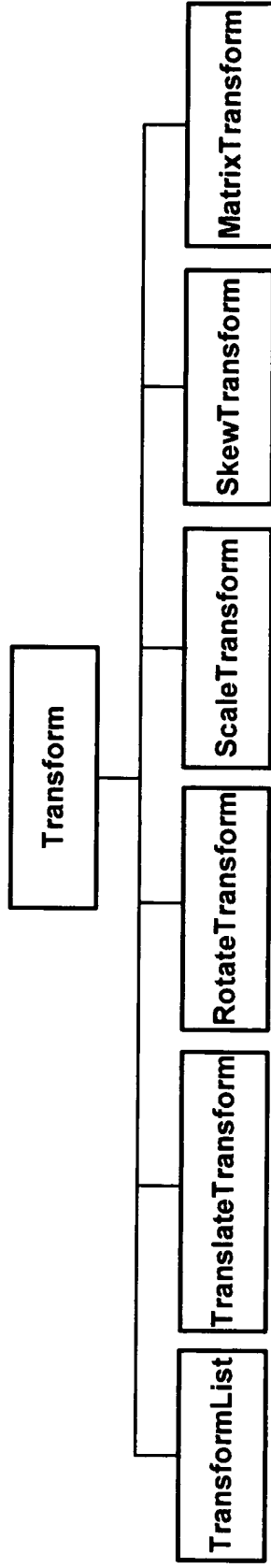


FIG. 7

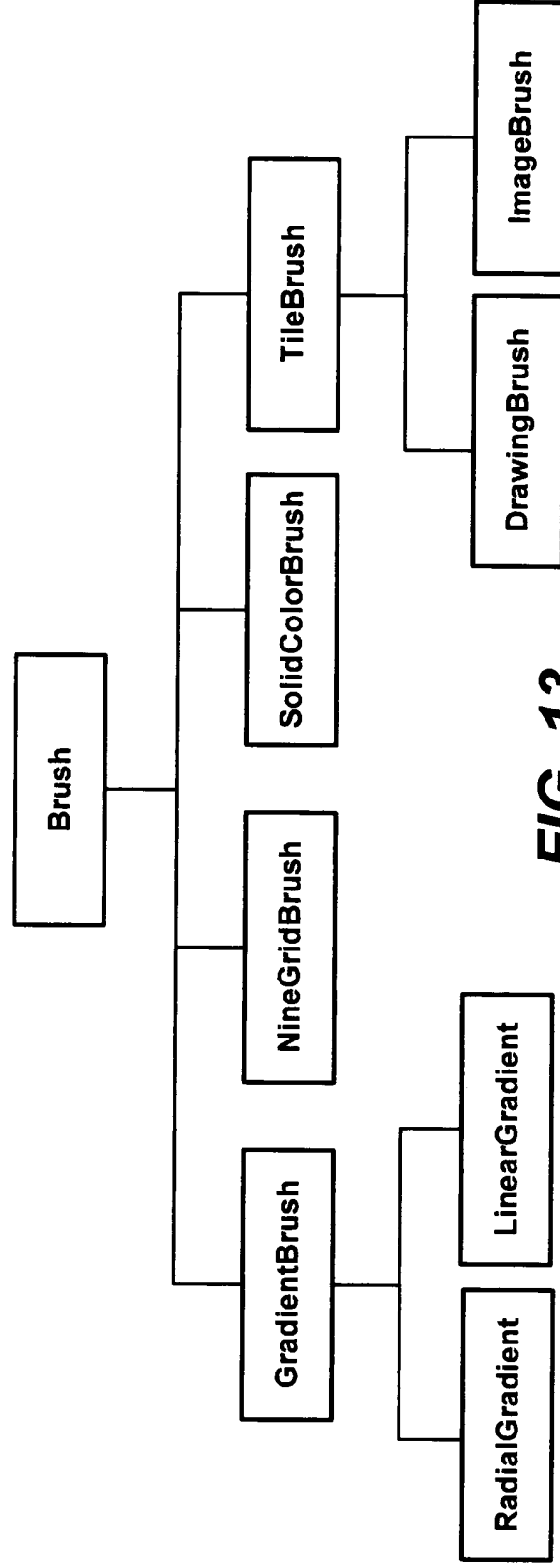


FIG. 13

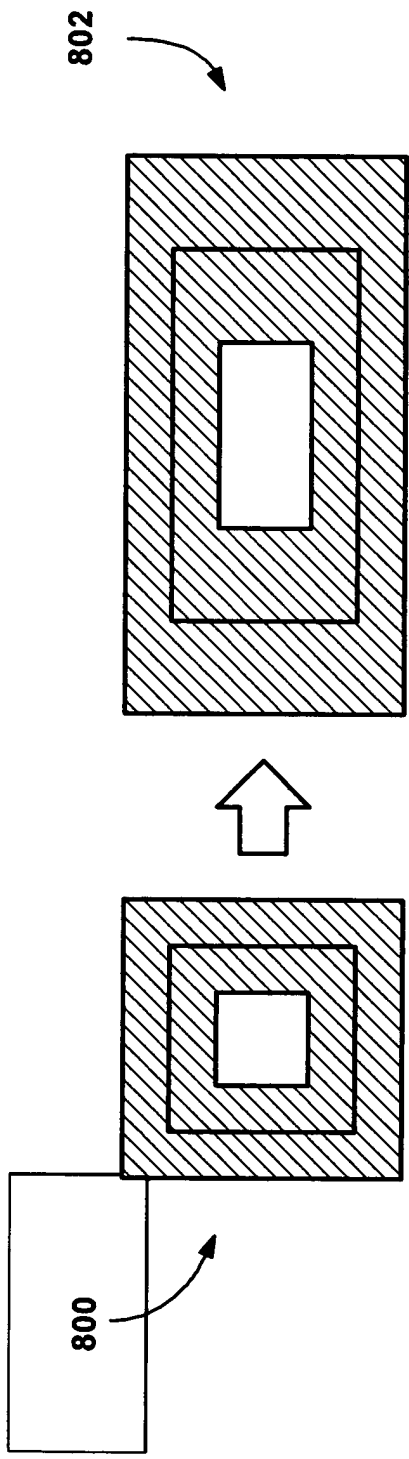


FIG. 8

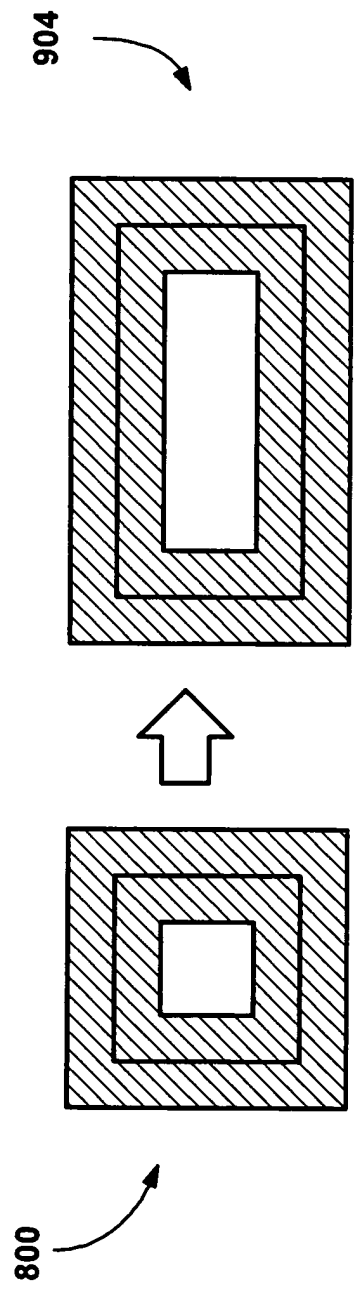


FIG. 9

PathGeometry

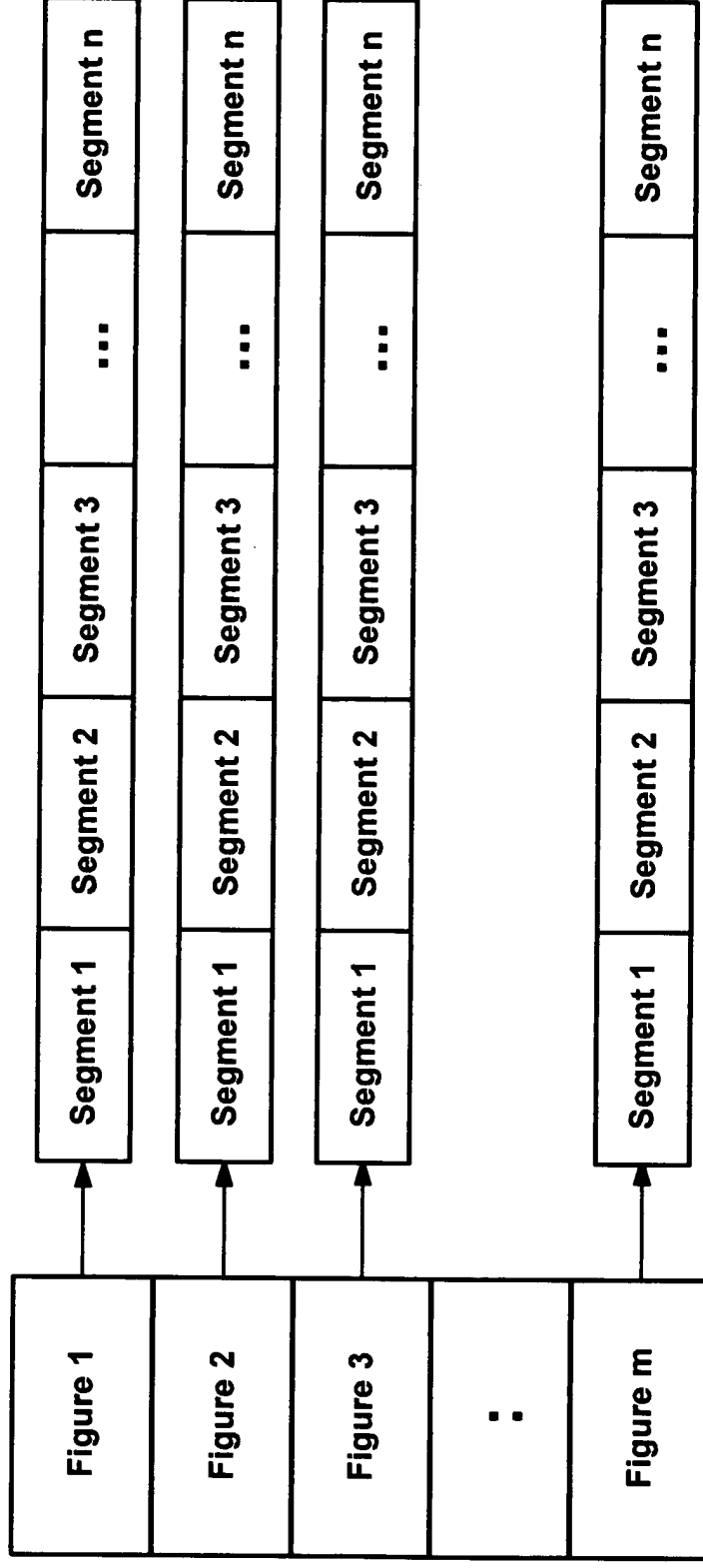


FIG. 11

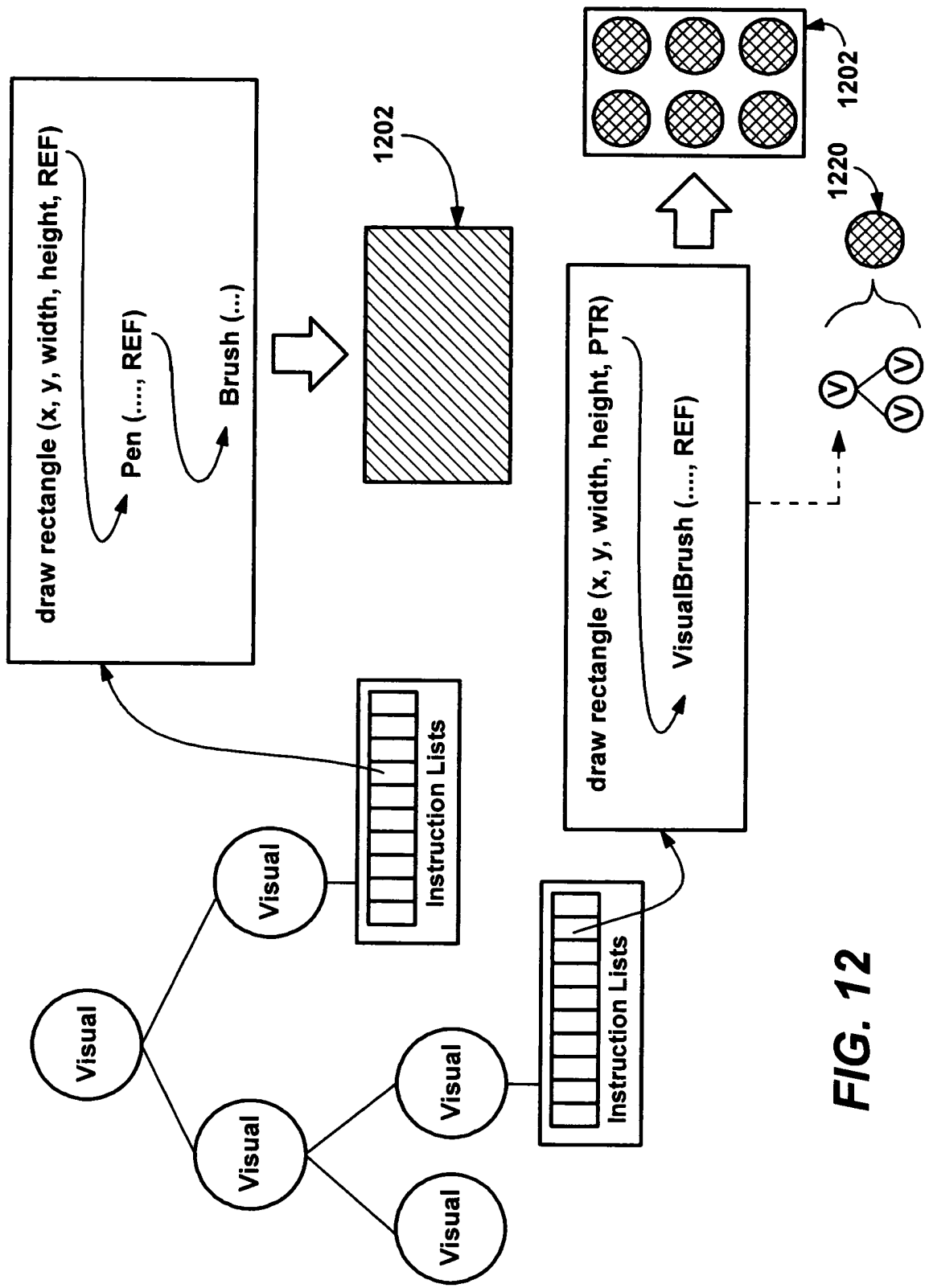


FIG. 12

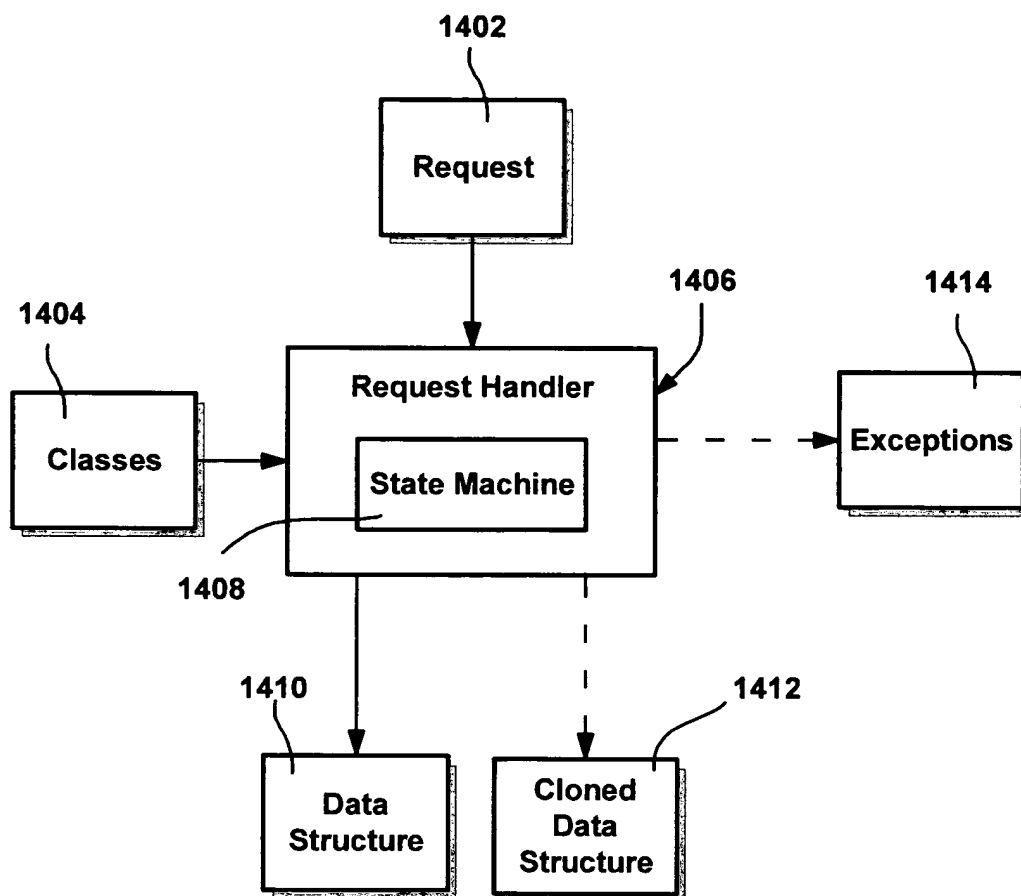


FIG. 14

FIG. 23

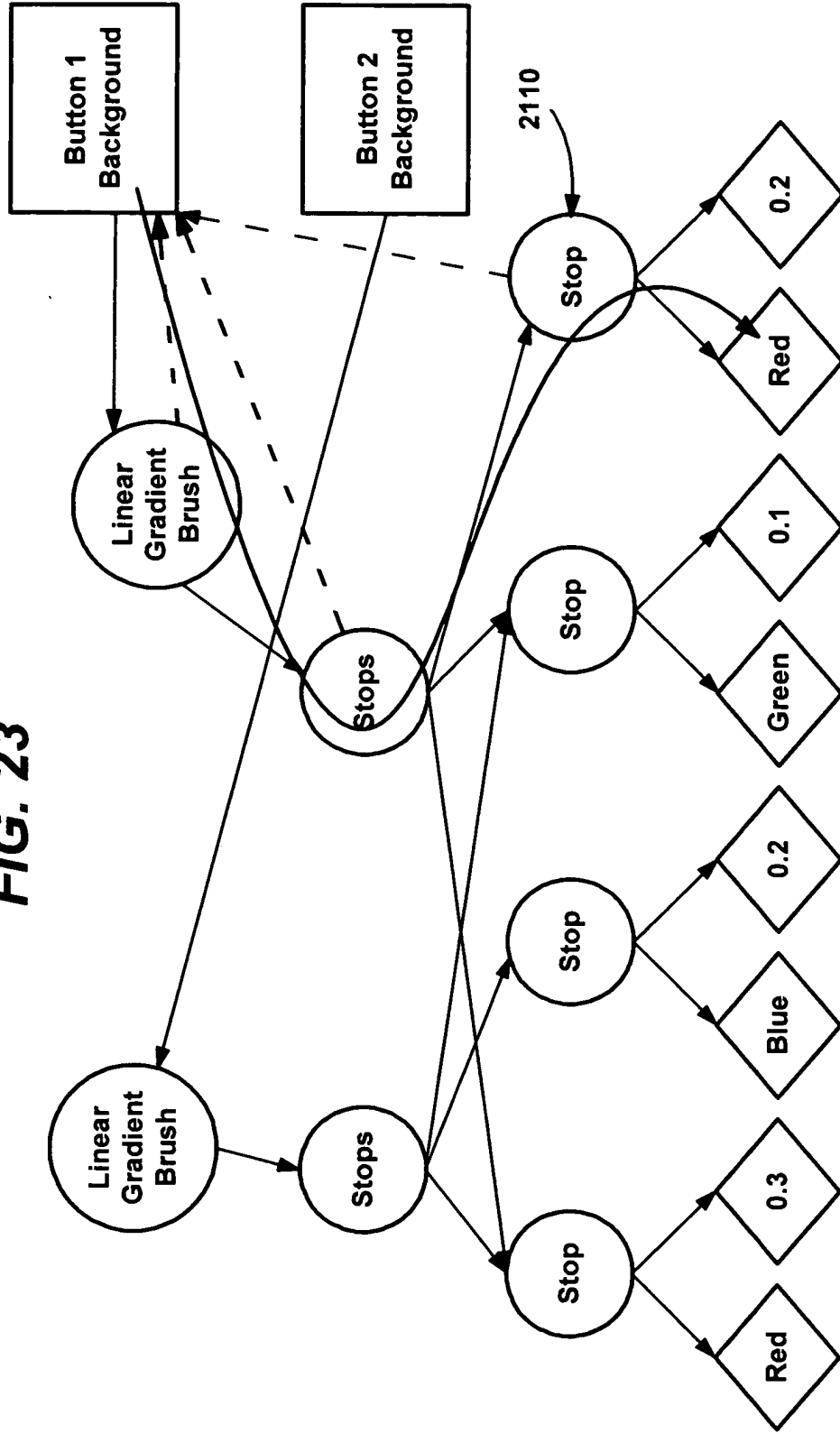


FIG. 22

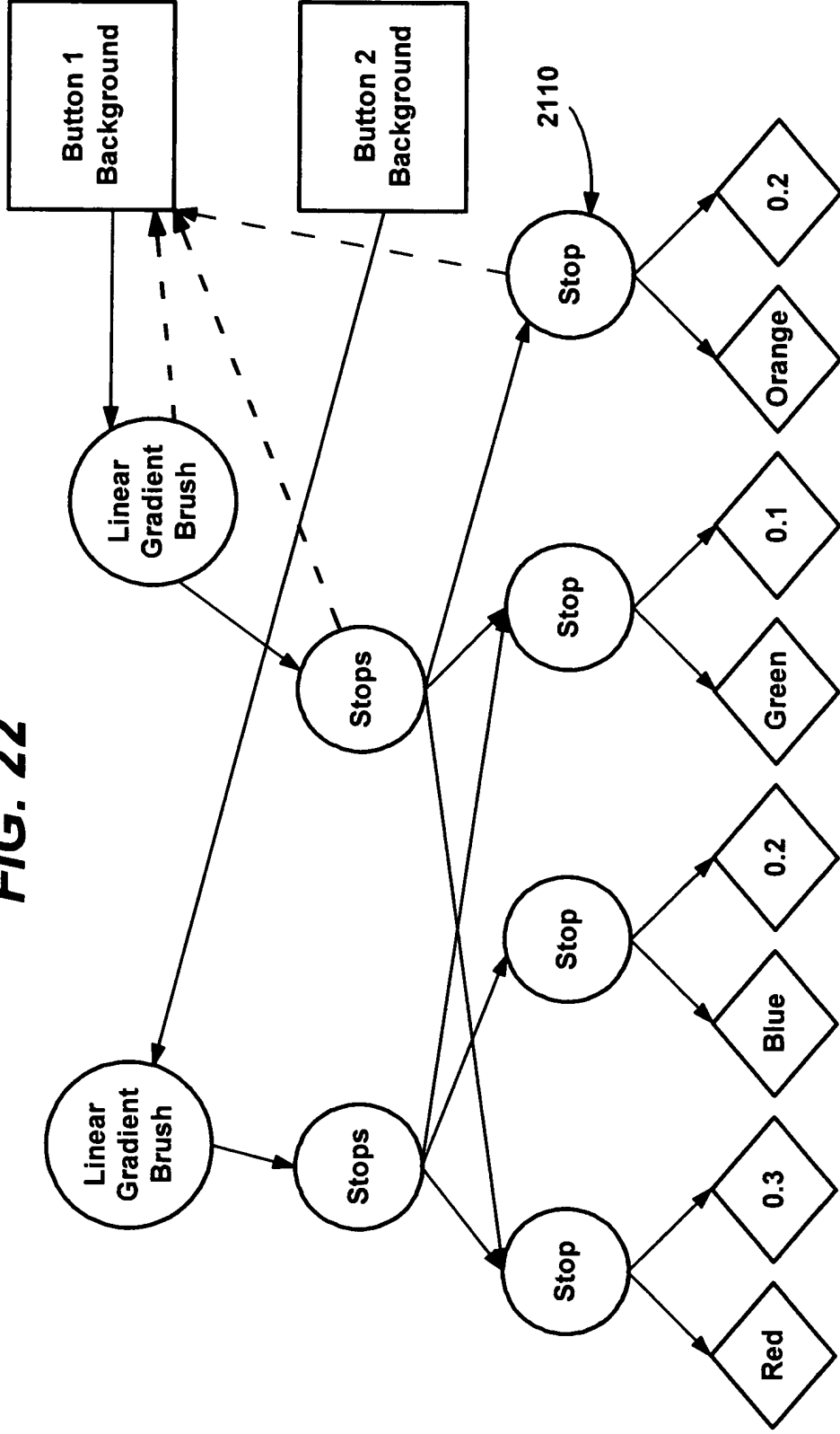
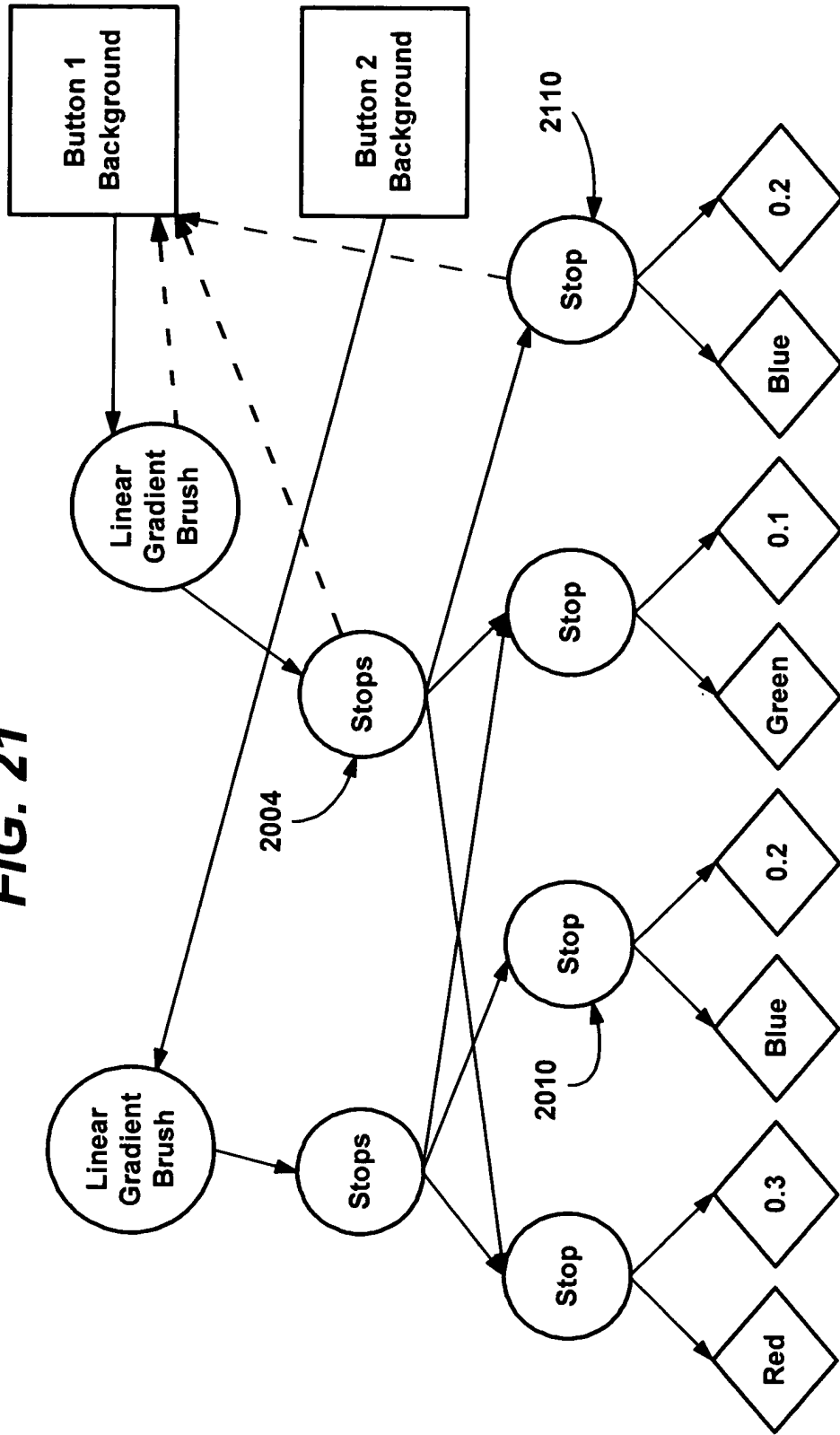


FIG. 21



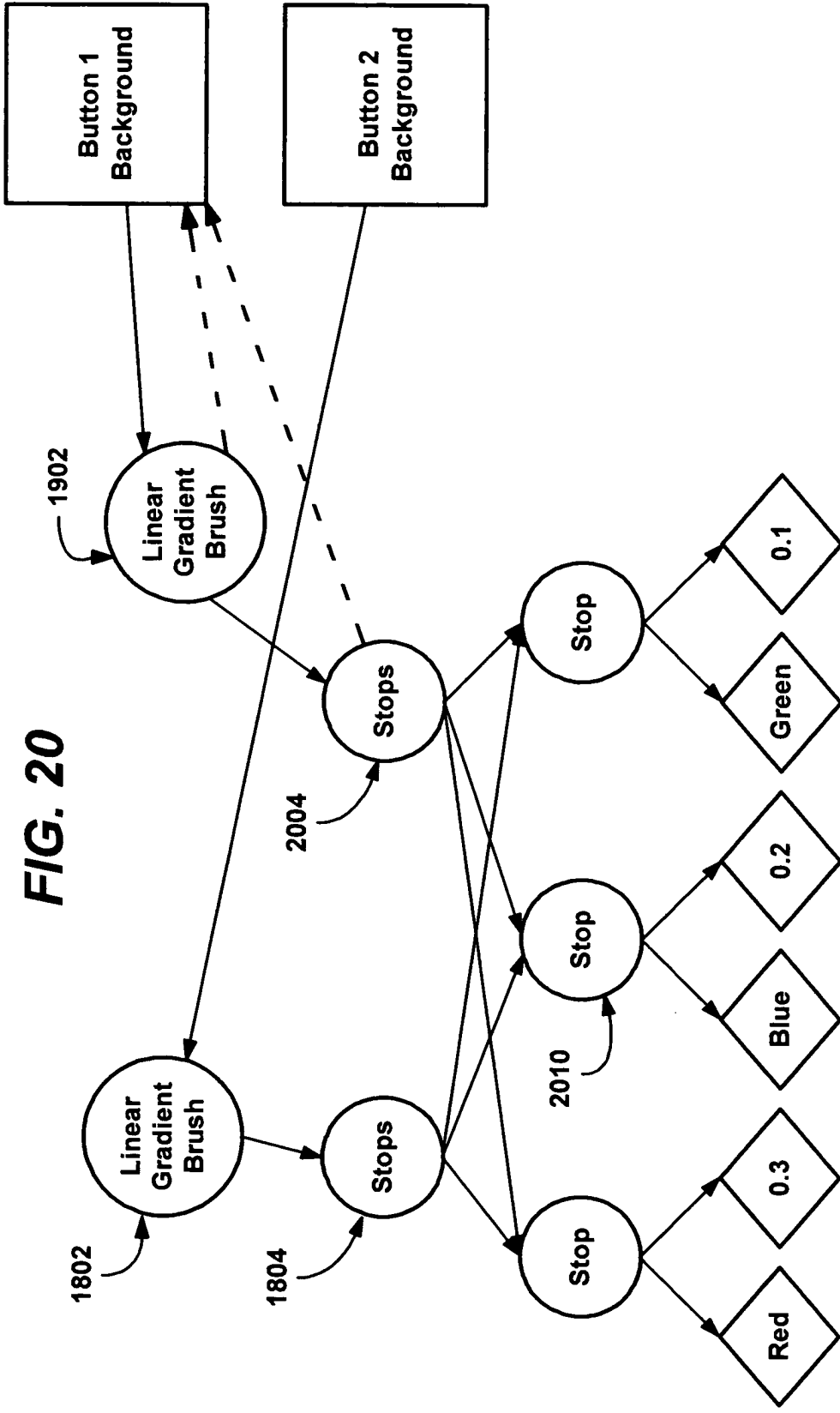
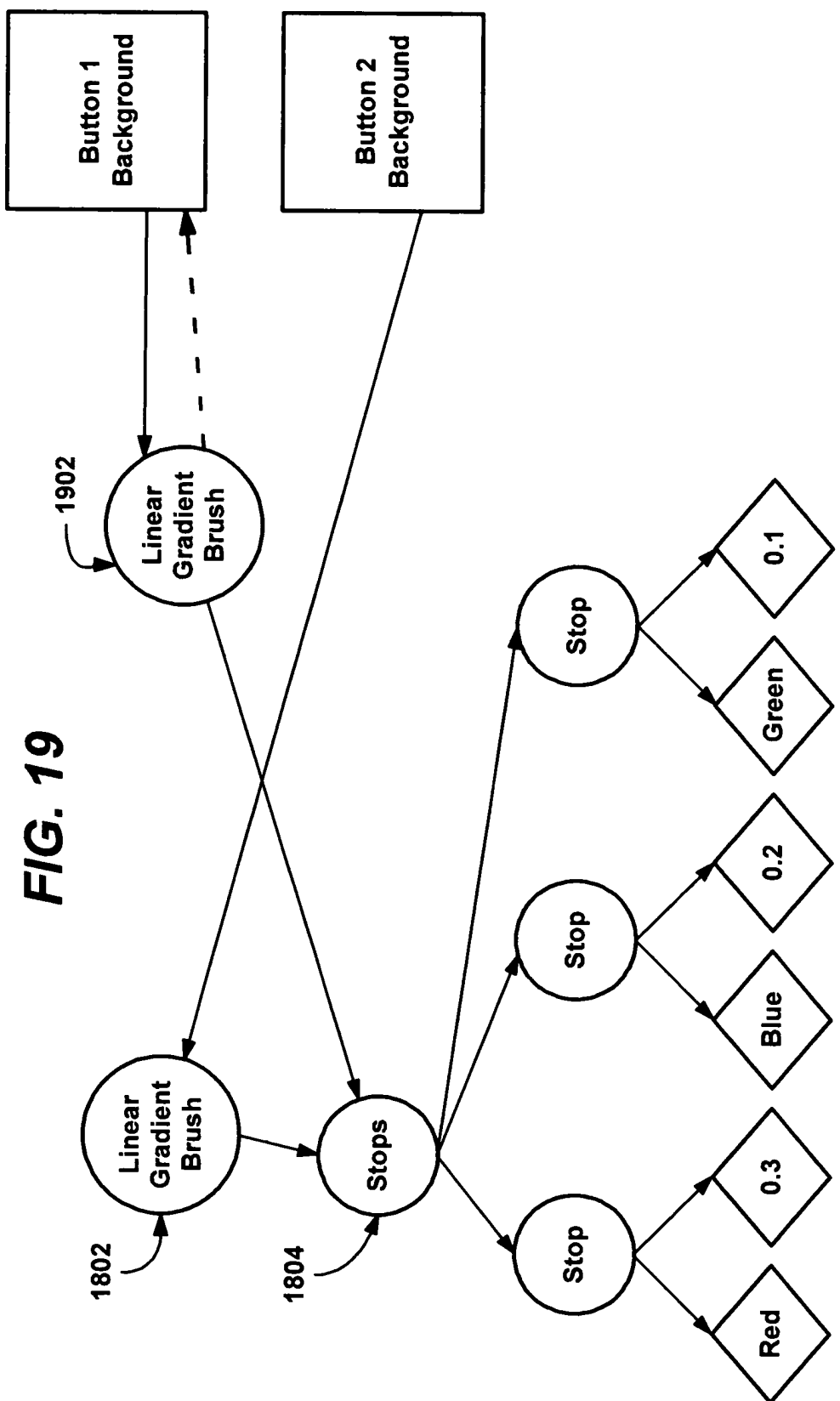


FIG. 20



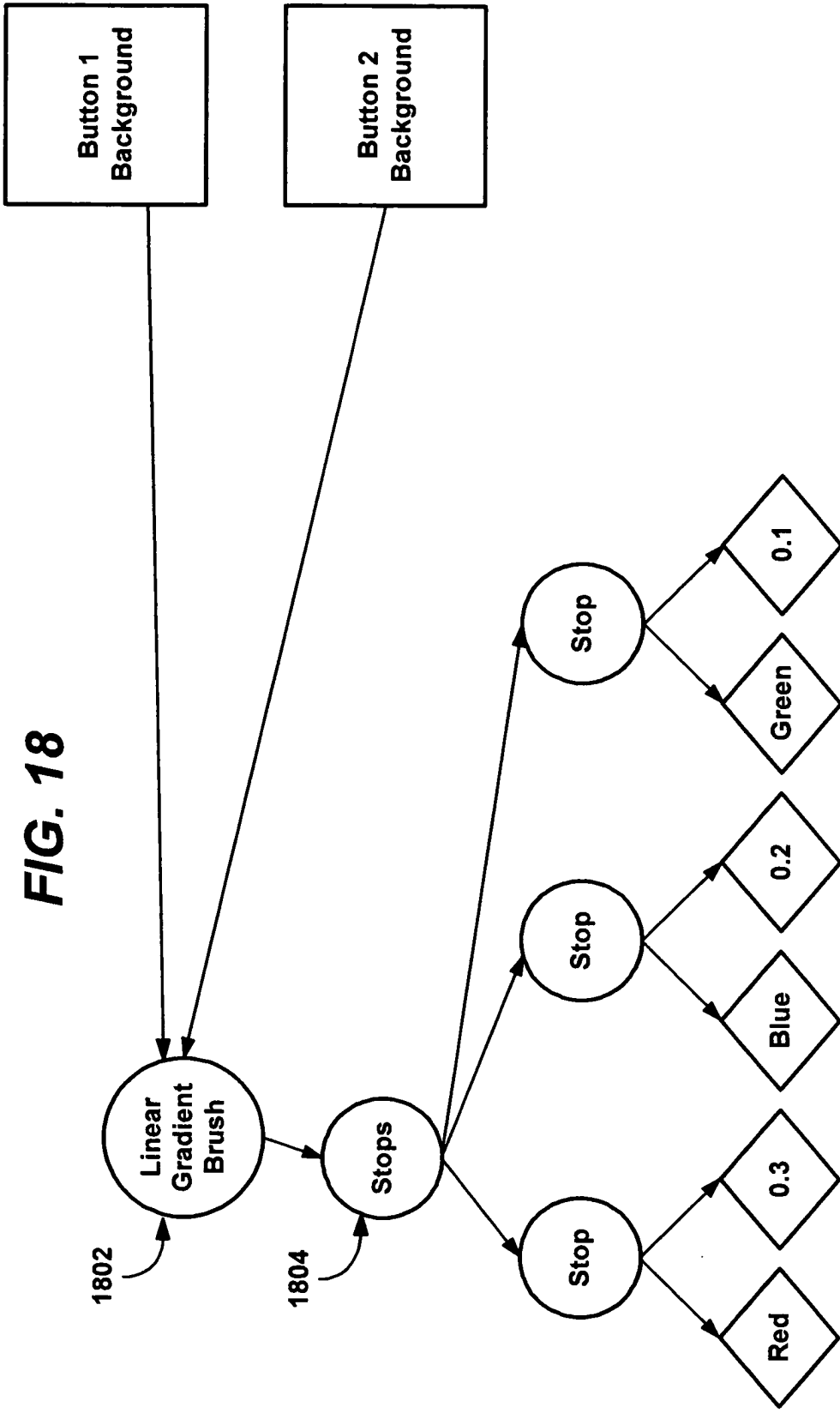
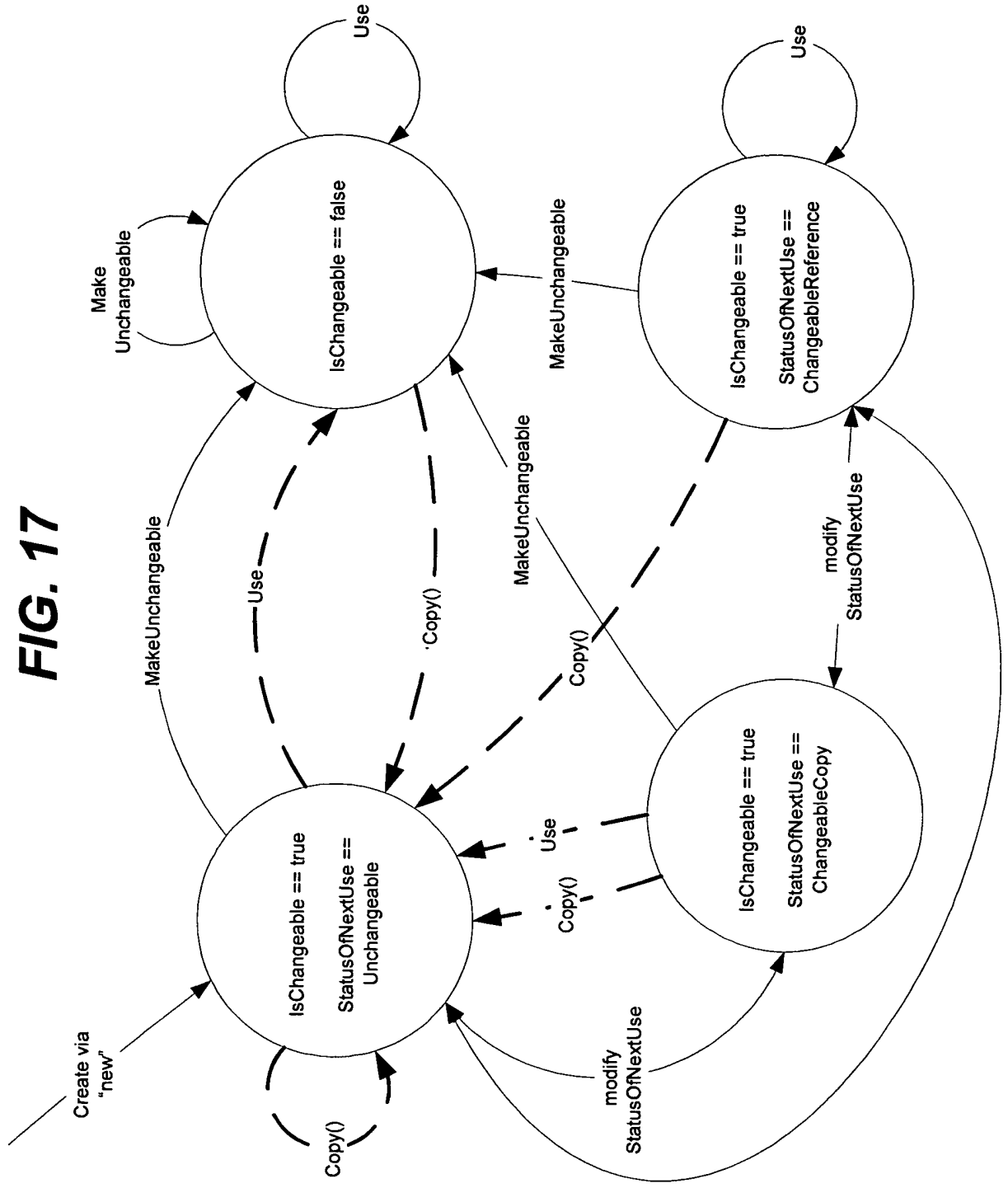


FIG. 18

FIG. 17



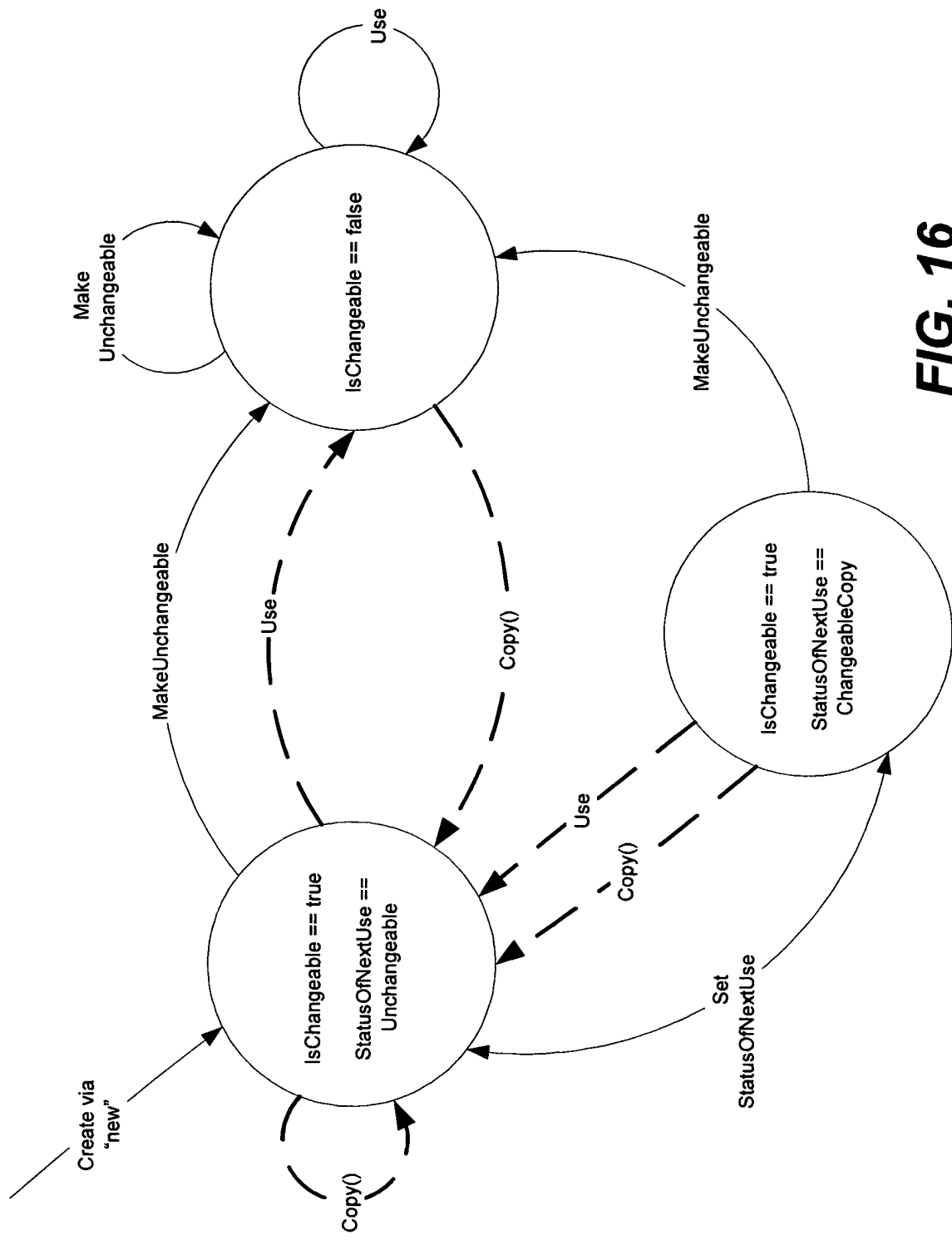


FIG. 16

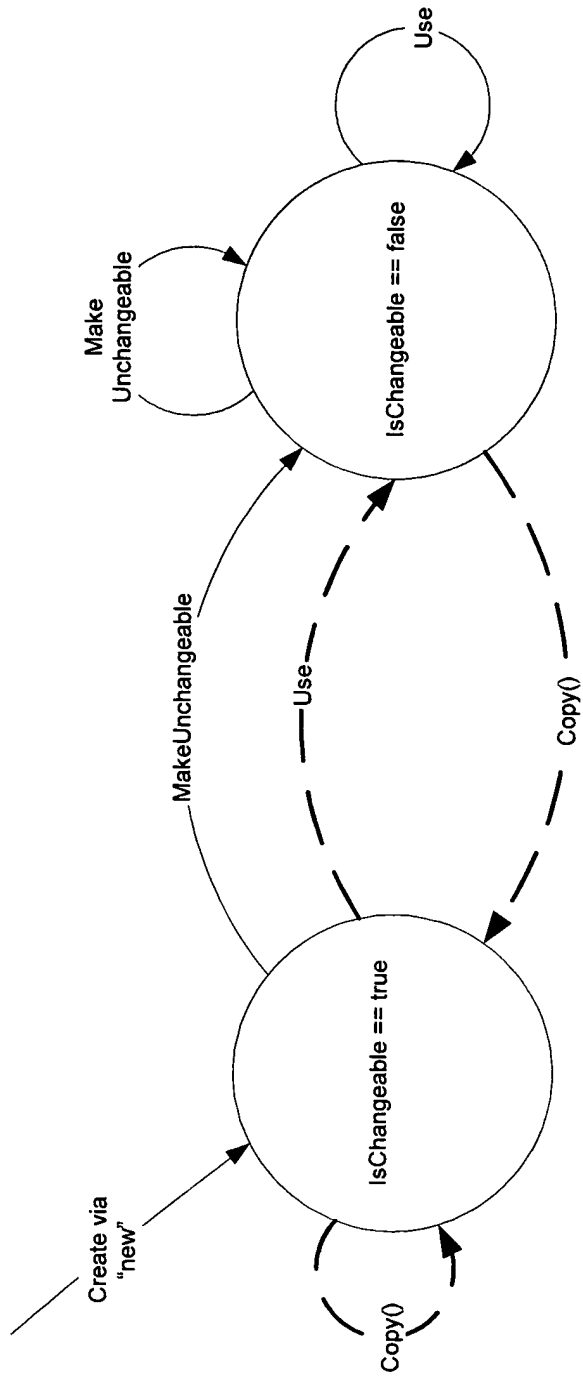


FIG. 15

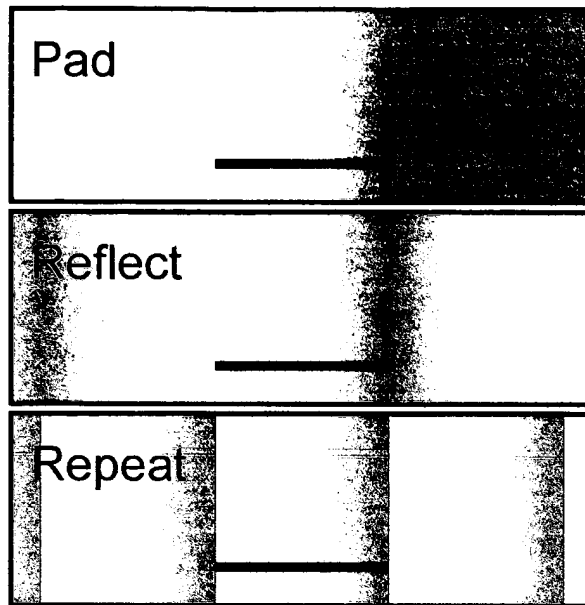


FIG. 24

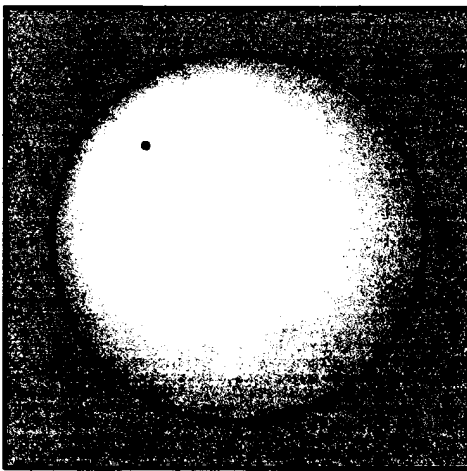


FIG. 25

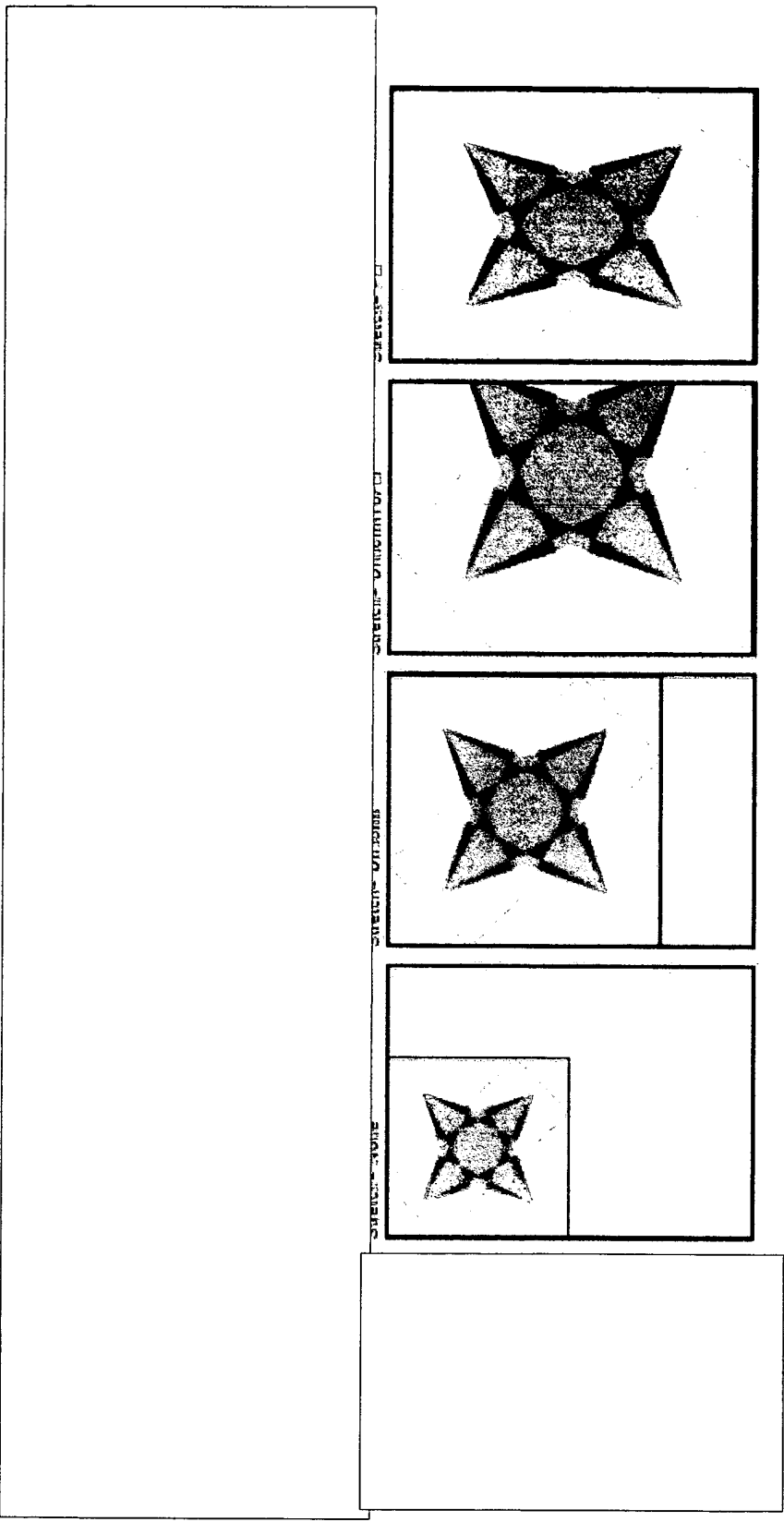


FIG. 26

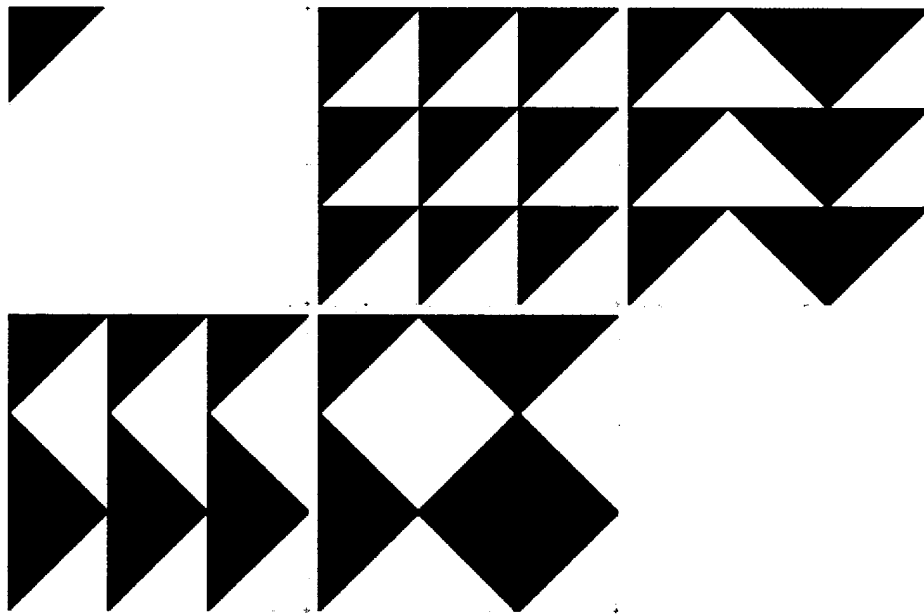


FIG. 27

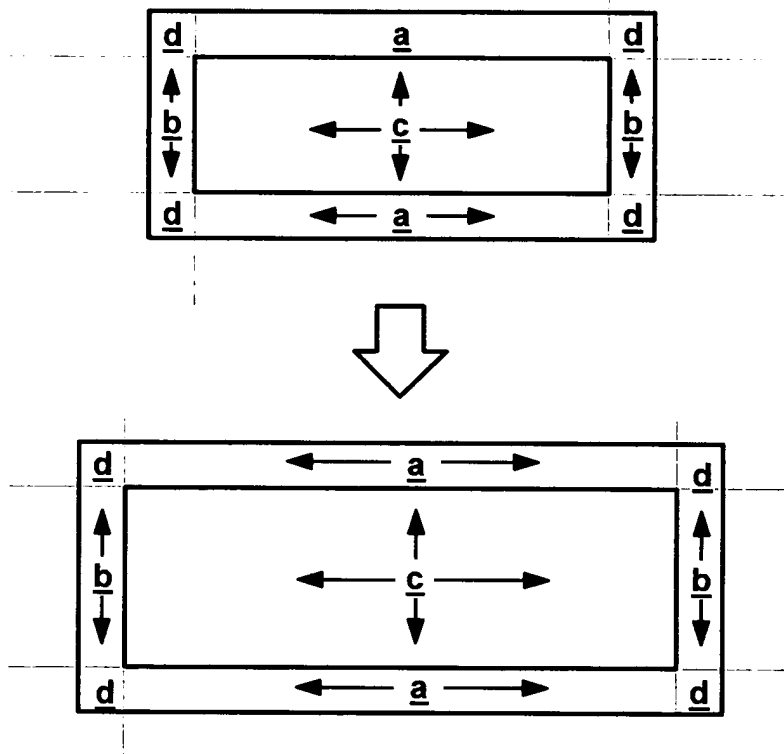


FIG. 28

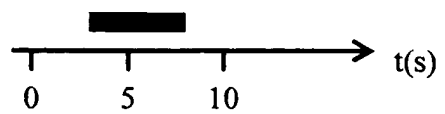


FIG. 29

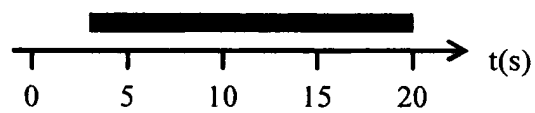


FIG. 30

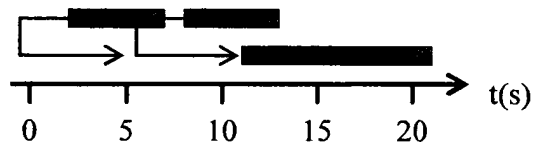


FIG. 31

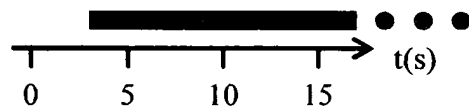


FIG. 32

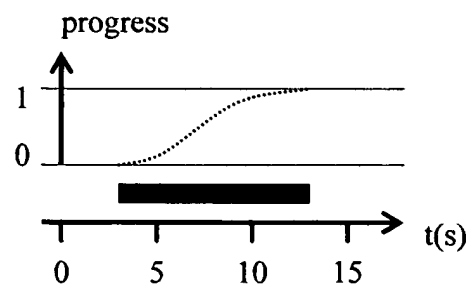


FIG. 33

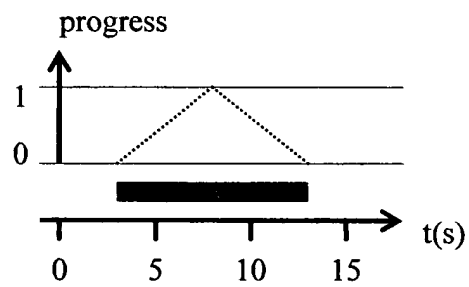


FIG. 34

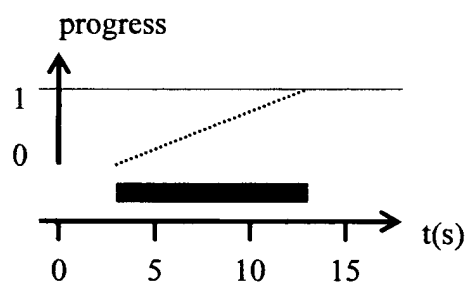


FIG. 35

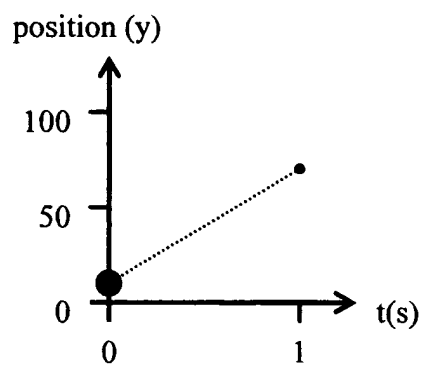


FIG. 36

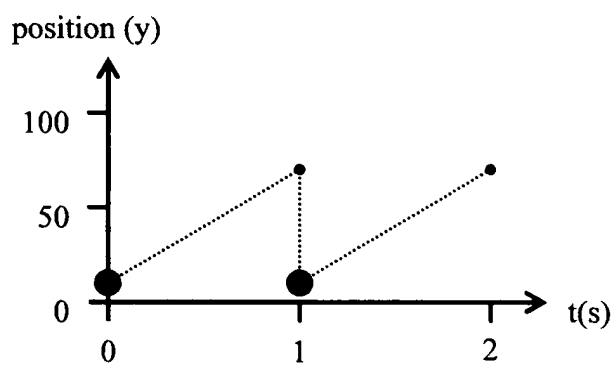


FIG. 37

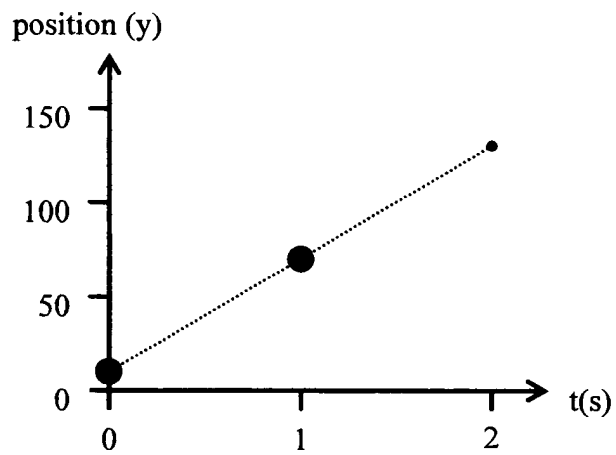


FIG. 38

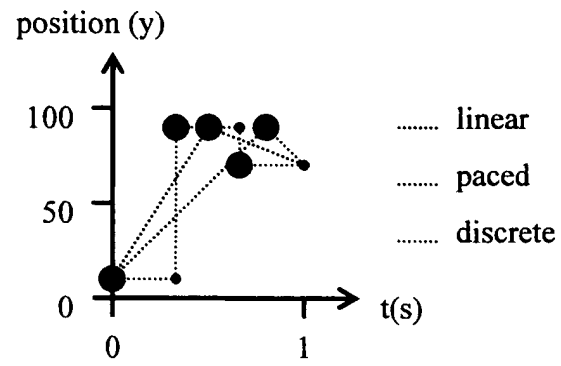


FIG. 39

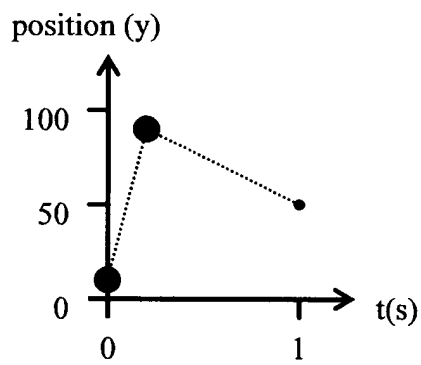


FIG. 40

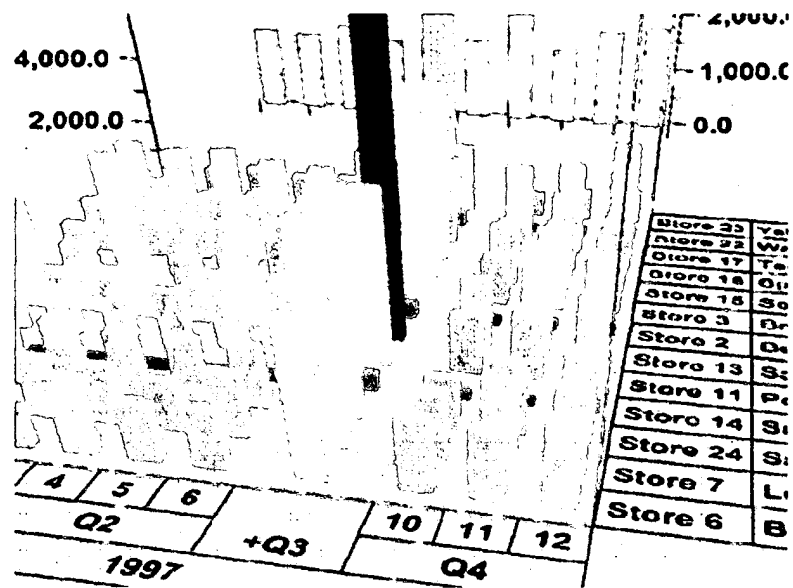


FIG. 41

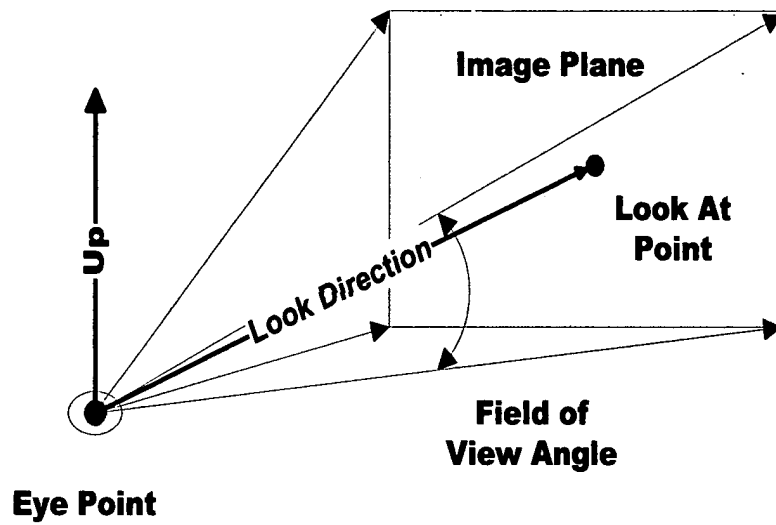


FIG. 42